

### III-62 河川下流部に設けられた排砂門の機能について (旭化成延岡工場取水口模型試験)

宮崎大学工学部

宮崎大学工学部

旭化成工務部

正員

川上謙太郎

正員

○吉高 益男

正員

林 勝三郎

(序) 宮崎県延岡市五ヶ瀬川(分流大瀬川)の河川改修のため、旭化成工場用水取水口の移転問題があきた。新設取水口が平水時にも洪水時にも取水が容易であるためには、必ずしも取水口前に固定すること、洪水後に取水口前が埋没しないこと、洪水中に取水口通管に多量の砂礫が流入しないことと共に堤防維持に支障がないことが要求される。そのため河川を横断してもぐりせきを設け、その右岸端取水口前に砂を下流に流すための排砂門を設けるようにした。そしてそれらの問題を解決するため模型実験を行った。(模型は水平縮尺 $1/200$ 、垂直縮尺 $1/50$ ) の実験のうち排砂門の機能について報告する。

(実験) 排砂門と1つ(I) 3m中3連(II) 4m中3連(III) 5m中2連の実験がなされた。(排砂門歯 $1m$ 、取水通管歴 $0.5m$ ) その地形観測図や図-1、-2、-3に、流速分布図が図-4に示されている。図中 $F_A$ なる値は排砂門の影響即ち洗掘の距離を示す数値で、着色された砂がその移動速度と共に増加する度、又は浮遊状態となる度を観測・地形測定を参考にしてえられた数値である。又通管への流入砂量 $g/m^3$ が測定された。模型砂は龍子川砂(実験C、平均粒径 $0.91mm$ 、通水時間30分)丸島砂(実験C、平均粒径 $0.31mm$ 、通水時間20分)を使用はれた。

(排砂門の機能) この排砂門は水面差の少ない所に設けられていて、通常の排砂作用を行ふものではなく、あたかも橋脚のように河川に設けられた障害物であり、排砂門脚のため、その上流部に洗掘が生じ、その結果砂を流しているような作用をする。そのため下流に図-1、-2、-3の、のような堆積があつて、即ち橋脚に於てその前頭部に生ずる洗掘はなるべく小さくすることが問題であつたが、この排

図-1 3m中3連(実験C-I)観測図

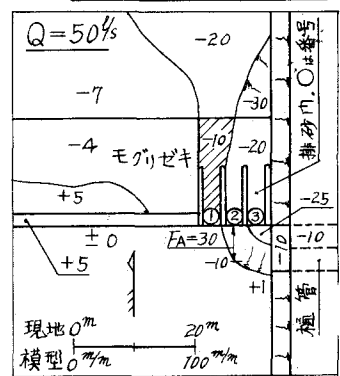


図-2 4m中3連(実験C-II)観測図

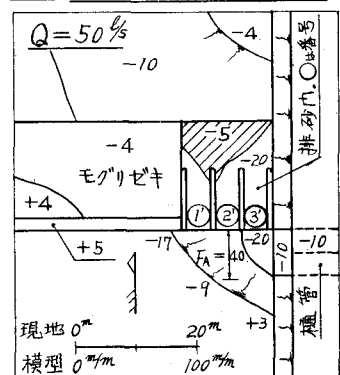


図-3 5m中2連(実験C-III)観測図

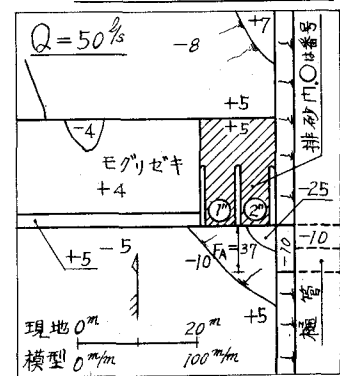
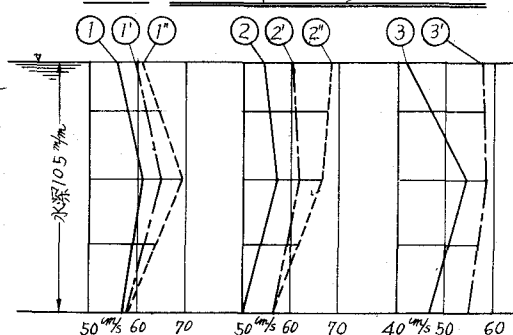


図-4 流速分布図(排砂門前面中央)



注: 図面の数値は基準面よりの高さmm  
斜線は排砂門歯の砂の堆積

砂門では洗掘の現象を利用して取水口をカバーし、一定程度の洗掘をおこさせ、且その深さは取水口に砂があまり流入しない大きさのものとえたいと考えた。

( $F_A$ の値)今までの橋脚による洗掘現象の研究は各橋脚間距離が互に影響しある程離れている場合のものに行はれており、脚間距離が短いとき、河床  $F_A/b$  洗掘の原因である螺旋流の発生を理論的に解決することは難やう。それで洗掘相当距離  $F_A/b$  を簡単に解析によりあらはしてみる。 $F_A$  は①排水形状、②砂の性質、③水理量の函数とみられる。①としては水中  $b_1$  脚巾  $b_2$  内敷れと總巾  $b$  がある。こつうち總巾  $b$  と内敷れがこの実験では主に影響した。②としては平均粒径  $s'$  と水中比重  $\gamma'$  、③としては脚間の平均流速  $V_m$  (表面流速  $V_s$ 、底面流速  $V_b$ ) 水深  $h$  などが考へられる。このうち洗掘力をあらはすものとして  $V_m$  とり、又 Tison の理論 (名原博士著: 土木学会誌 Vol. 28, No. 11, p. 992) によると流速分布の状態が密接に關係にあるから、一応  $V_b$  も考へると  $F_A$  の函数形としては次のような形が考へられる。

$$F_A/b = f(V_m/\sqrt{gdm}, V_b/V_m, n, s')$$

$F_A/b$  と  $V_m/\sqrt{gdm}$  との關係を図示すると図-5となる。この結果、二つの量の間に兩段關係が成立すると思はれる。又  $V_m$  は座実験と同じような道なのでその変化ははつきりしなかつたが、これによる変化は図-5の中でも  $n=2$  のものと他のもの ( $n=3$ ) と差があることによつてしまふ。よつてこの実験では  $F_A$  は主と  $1 \sim b$ ,  $V_m$ ,  $n$  及び砂によつて決定されたことわかった。

( $g_i$ の値) 極管に砂が流入する構造は図-1等の地形が変化する際に於て浮遊状態に有つた砂が極管入口の渦によって巻きこまれ、その渦は砂とともに極管に進入し、渦が消えると砂は沈没する。それには極管の奥まで砂が堆積していくことわかつた。それで極管入口の渦をあらはす量を考へることができるなかつたので、 $g_i$  の函数形を決めえたなかつた。しかし各実験の  $F_A$  と  $g_i$  をプロットしてみると図-6となる。これより  $F_A$  と  $g_i$  との間に關係がありそうに見えることはわかつた。

(結び) 実験的目的と実施設計を決定するにあつたので、排水内の種類少く(結局Ⅱ案を最良とした) $F_A$  の数式、 $g_i$  の函数形を決定しなかつたが後日函数形の確認と数式の確立のための抽象的な実験を行ひたいと考へている。この実験と整理を担当された工務部福田正氏に謝意を表す。

図-5

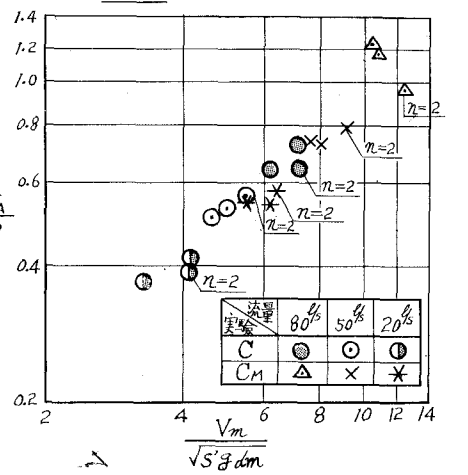
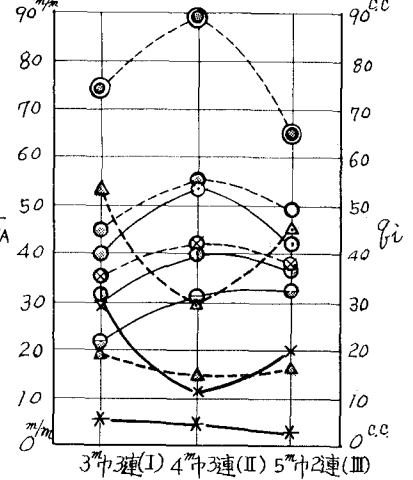


図-6



符号	砂 别	流 量	凡 例
$F_A$	祝賀砂(C)	80%	○
		50%	●
		20%	○
$g_i$	丸ヶ島砂(Ch)	80%	○
		50%	●
		20%	○
$F_A$	祝賀砂(C)	80%	×
	30分通水	50%	×
$g_i$	丸ヶ島砂(Ch)	80%	△
	20分通水	50%	△